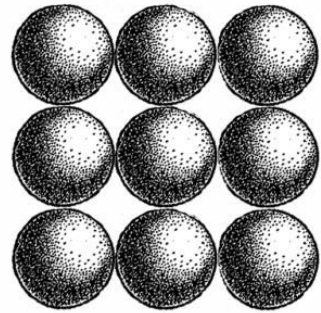
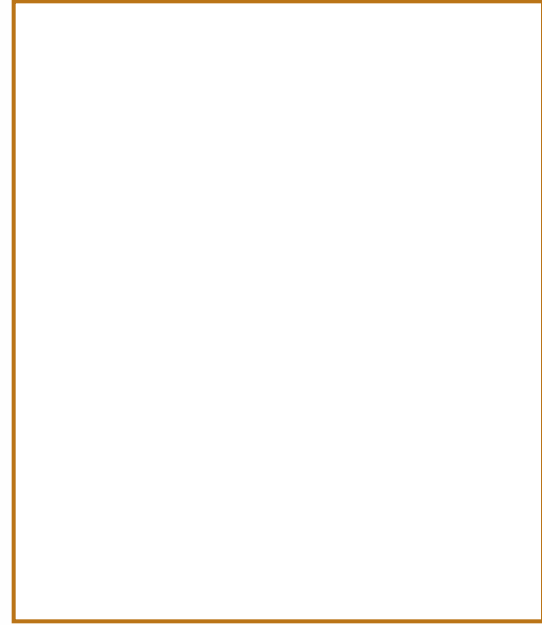


Генезис различных типов промежуточных фаз Теория плотнейших упаковок



a



Плотнейшая шаровая укладка из слоев, каждый из которых в отдельности имеет симметрию квадрата (*a*).

Квадратные следующего слоя укладываются в лунки предыдущего; так образуется 3D плотнейшая упаковка (*b*). Шары плотнейшей упаковки служат узлами решетки (*c*)

Теория плотнейших упаковок

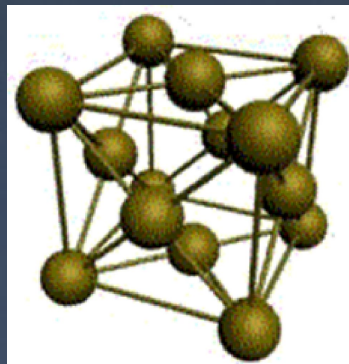
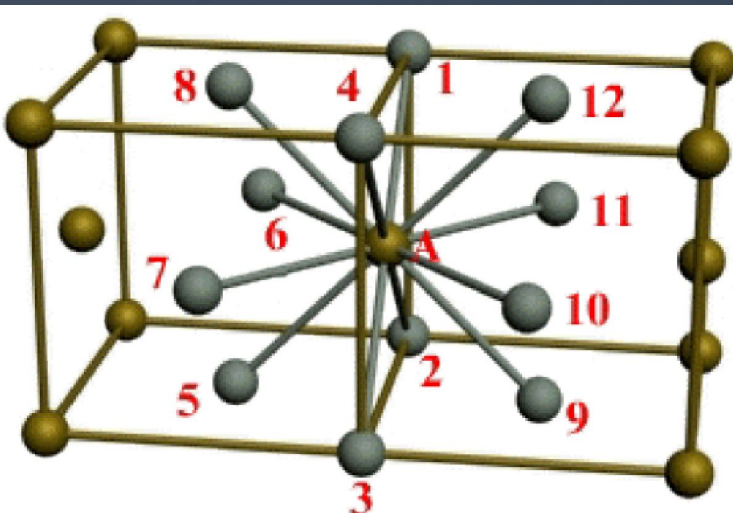
В результате укладки может получится структура с элементарной ячейкой в виде гранецентрированного куба (ГЦК). Координационное число для ГЦК-решётки $z = 12$: каждый атом имеет 6 ближайших соседей в своём слое и по 3 — в выше- и нижележащих слоях. На элементарную ячейку приходится $n = 4$ атома, поэтому коэффициент компактности равен $\sim 74\%$.

$$k = \frac{n \cdot \frac{4}{3} \pi R^3}{a^3} = \frac{4 \cdot \frac{4}{3} \pi \left(\frac{a\sqrt{2}}{4} \right)^3}{a^3} = 0,740 (74\%)$$

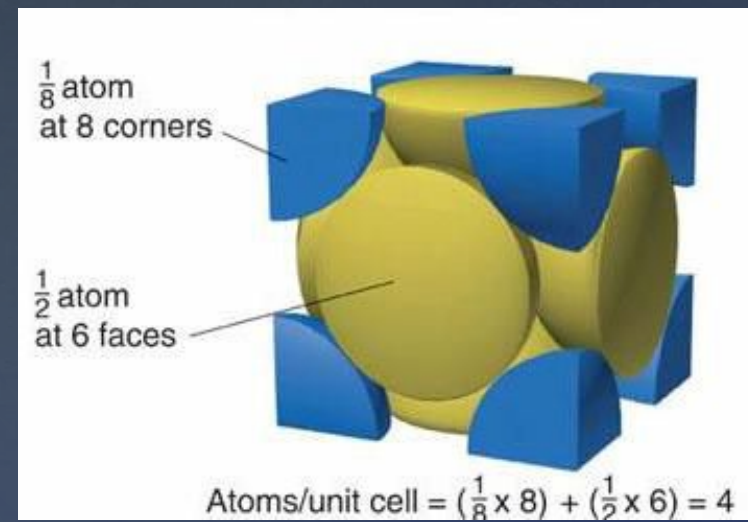
Эти значения z и k являются максимально возможными для решёток простых веществ

Теория плотнейших упаковок

Откуда эти ~ 74 %?



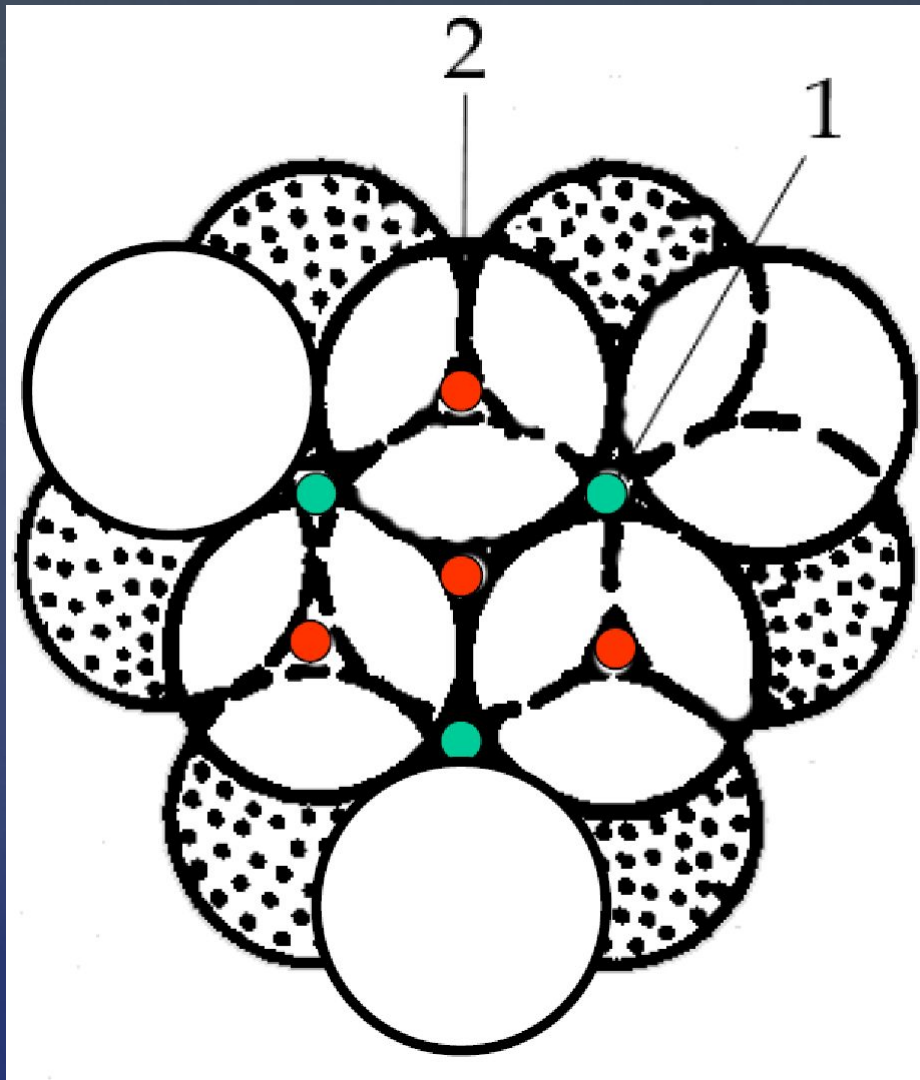
$$K\bar{C} = 12, \\ n = 4$$



$$k = \frac{n \cdot \frac{4}{3} \pi R^3}{a^3} = \frac{4 \cdot \frac{4}{3} \pi \left(\frac{a\sqrt{2}}{4} \right)^3}{a^3} = 0,740 \text{ (74 %)}$$

Теория плотнейших упаковок

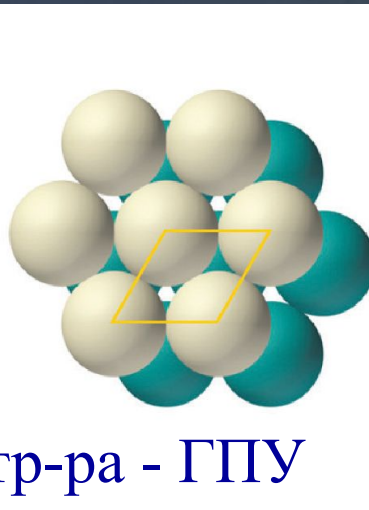
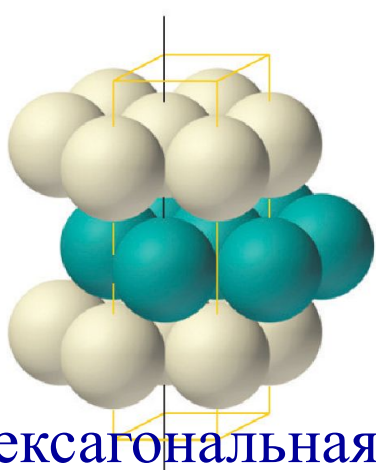
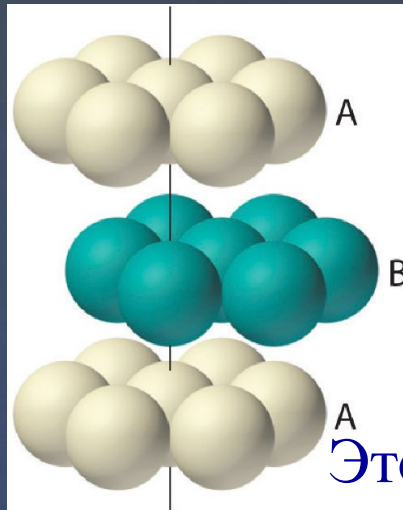
Но ПУ может быть не только кубической симметрии !



Шары 2-го слоя заполняют лишь половину лунок предыдущего плотноупакованного слоя.
При этом образуется два вида лунок:
половина сквозных (1) и
половина несквозных (2).

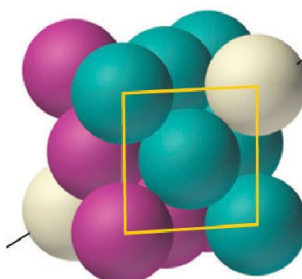
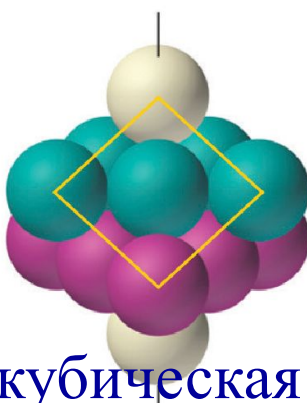
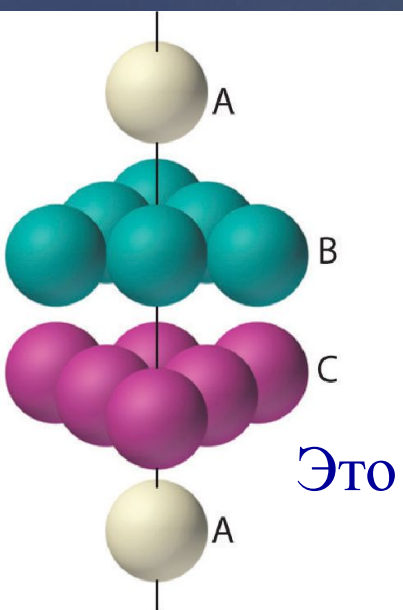
Теория плотнейших упаковок

Но ПУ может быть не только кубической симметрии !



Это гексагональная стр-ра - ГПУ

Первый вариант укладки: два типа слоев (чередование типа АВ...АВ...). В структуре имеются сквозные просветы от части лунок .



Это кубическая стр-ра ПУ
(ГЦК)

Второй вариант укладки: он образован тремя слоями, причем найдутся такие два слоя, что над (или под) лункой одного будет лунка другого. Третий слой лунку закрывает. Чередование типа АВС... АВС...

Теория плотнейших упаковок

Различные комбинации трех слоев (A , B и C) позволяют получить бесконечное множество многослойных упаковок:

... АВ АВ АВ ... – двухслойная упаковка гексагональной симметрии;

... АВС АВС ... – трехслойная упаковка кубической симметрии;

... АВАС АВАС ... – четырехслойная упаковка гексагональной симметрии;

... АВСАСВ ... шестислойная упаковка гексагональной симметрии и т.д.

• Симметрия всех полученных упаковок описывается только восемью пространственными группами: семь из таких групп – гексагональные; одна – кубическая.

Теория плотнейших упаковок

ПУ характерны:

- для структур простых соединений с ненаправленной и ненасыщаемой химической связью, т.е. структур **металлов** и **благородногазовых** элементов:

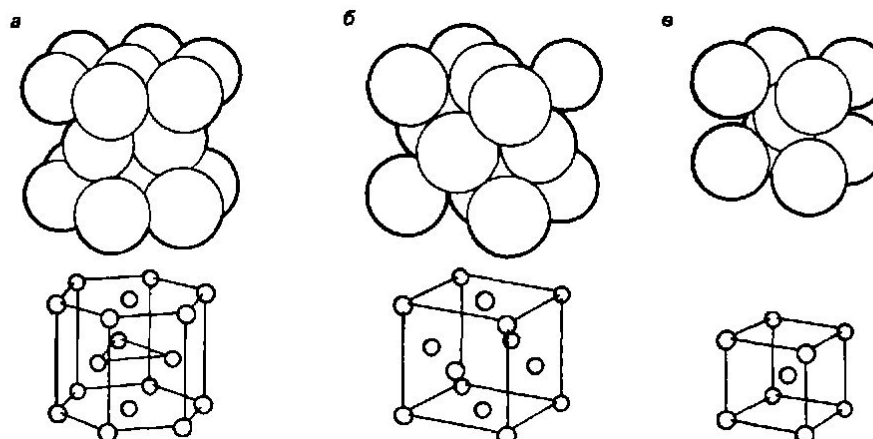
Mg, He – двухслойная упаковка,

Cu, Ar – трехслойная упаковка,

La – четырехслойная упаковка,

- для структур с **ионным типом связи**, в которых крупные по размеру ионы создают плотнейшую упаковку, а мелкие располагаются в пустотах плотнейшей упаковки.

Плотнейшие и плотные упаковки в ПС элементов



Маленькое дополнение:
 К плотнейшим упаковкам близка (но не тождественна) **плотная кубическая** упаковка со структурой ОЦК и $k = 68\%$ (см рис.“*в*”).

Плотнейшие и плотные упаковки в ПС элементов: (более подробно для металлов)



Metal Elements from the Periodic Table



(Cubic Close Packing)



(Hexagonal Close Packing)



(Body Centered Cubic)



(4H)

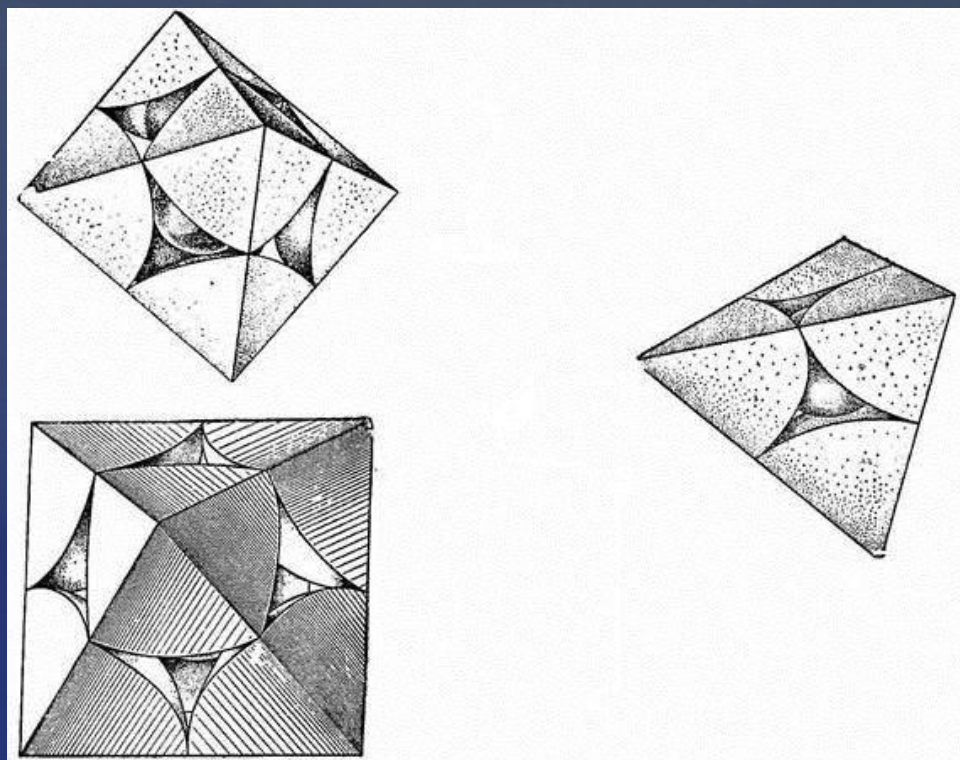


(Other)

Пустоты в плотнейших упаковках

(пригодится через несколько слайдов, к фазам Хэгга)

- Каждый шар любой плотнейшей упаковки окружен 8-ю тетраэдрическими и 6-ю октаэдрическими пустотами.
- Все плотноупакованное пространство разделяется без промежутков на октаэдры и тетраэдры

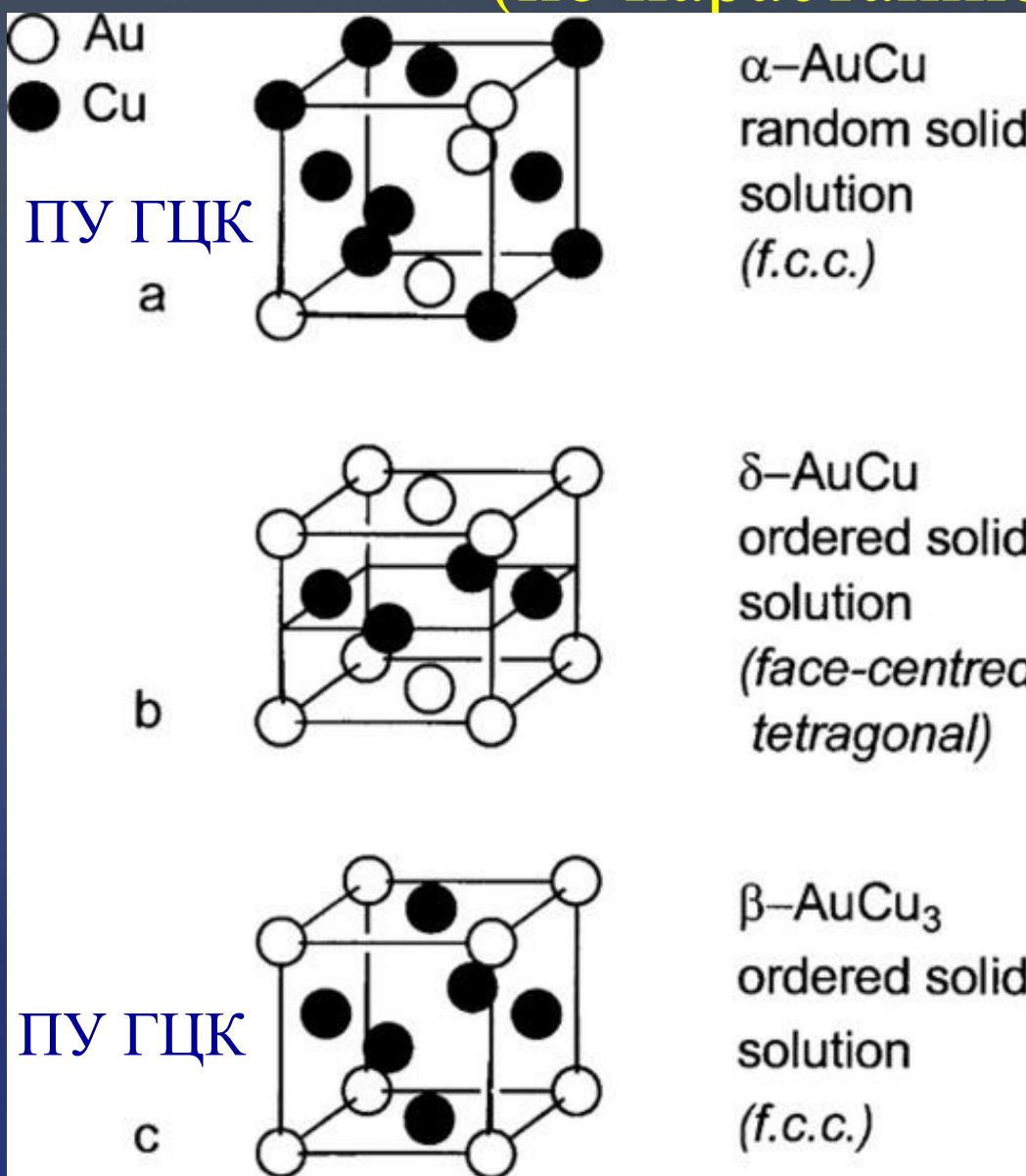


Октаэдрическая пустота - два вида с разных ракурсов (слева) и вид тетраэдрической пустоты в ПУ. Для улучшения восприятия в центр пустоты помещен малый шар (маленький атом), а фрагменты с пустотами вырезаны из ПУ – структуры.

$$n_{\text{oct}} = n_{\text{at}}; n_{\text{tetr}} = 2n_{\text{at}} \Rightarrow n_{\text{tet}} = 2n_{\text{oct}};$$
$$r_{\text{oct}} = 0,41 r_{\text{at}}; r_{\text{tetr}} = 0,22 r_{\text{at}}.$$

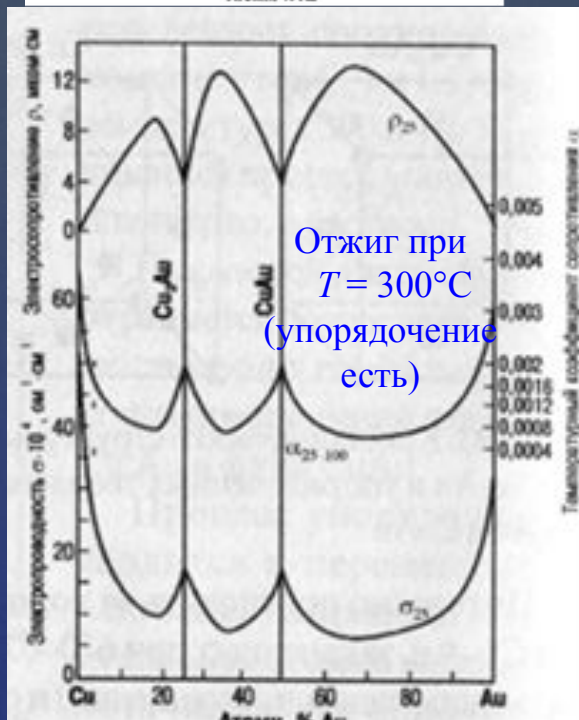
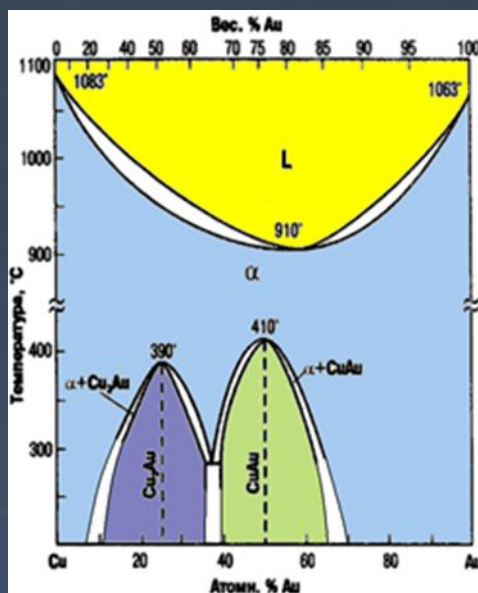
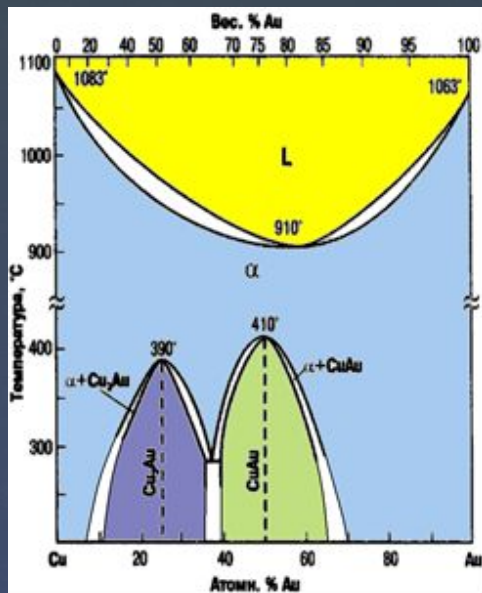
Символ n относится к количеству, r – к радиусу, at – к атомам, tetr – к тетрагональным пустотам и oct – к октаэдрическим.

Генезис различных типов промежуточных фаз (по нарастанию химизма)



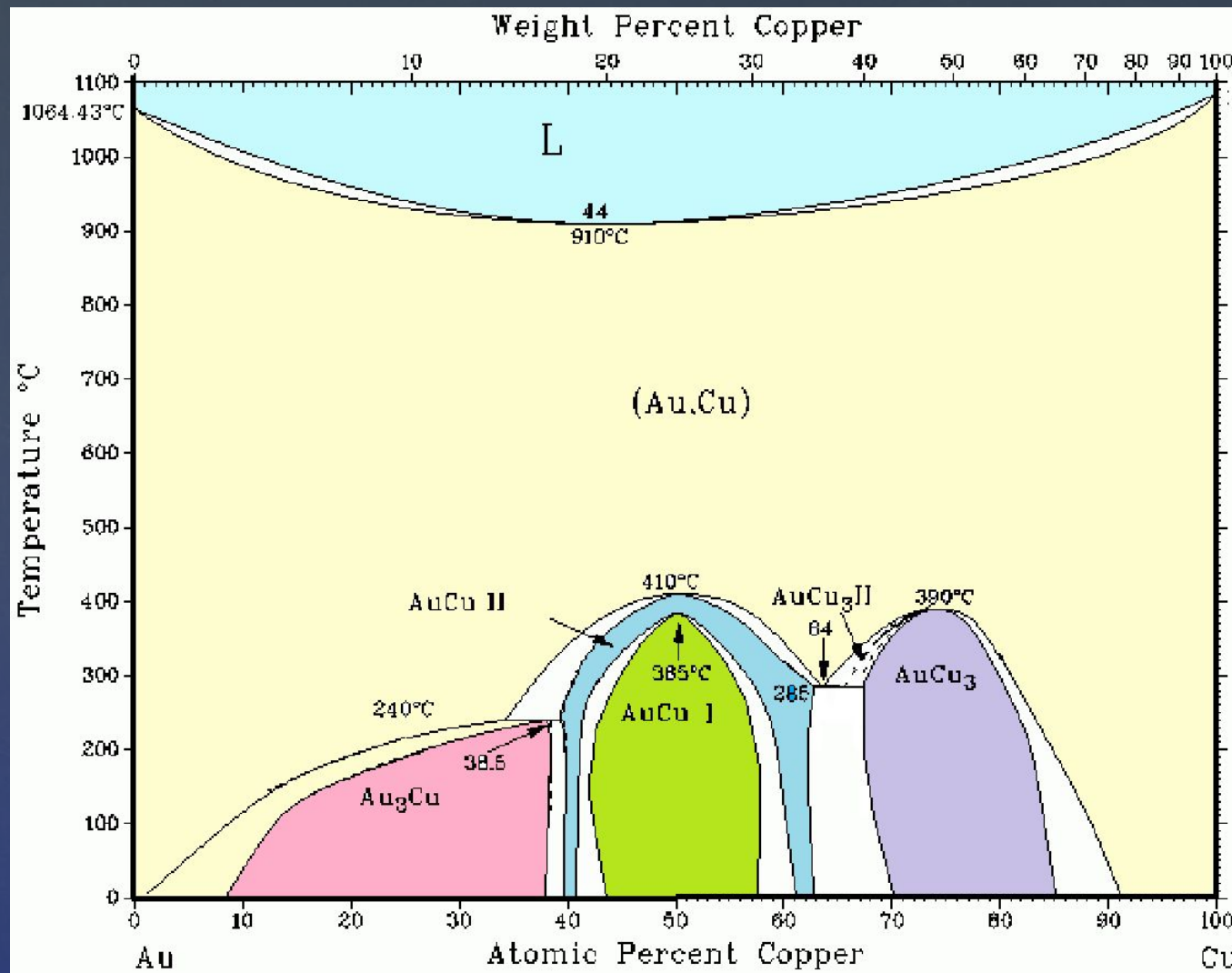
Соединения
Курнакова: результат
упорядочения
твердых растворов

Соединения Курнакова: результат упорядочения твердых растворов



T-x диаграмма системы Cu-Au и концентрационные зависимости различных свойств для сплавов, закаленных от температуры 600°C (упорядочения нет, изображение слева) и аналогичные зависимости для образцов, отожженных длительное время при 300°C и закаленных от этой температуры (упорядочение с образованием соединений Курнакова, изображение справа).

Соединения Курнакова: результат упорядочения твердых растворов



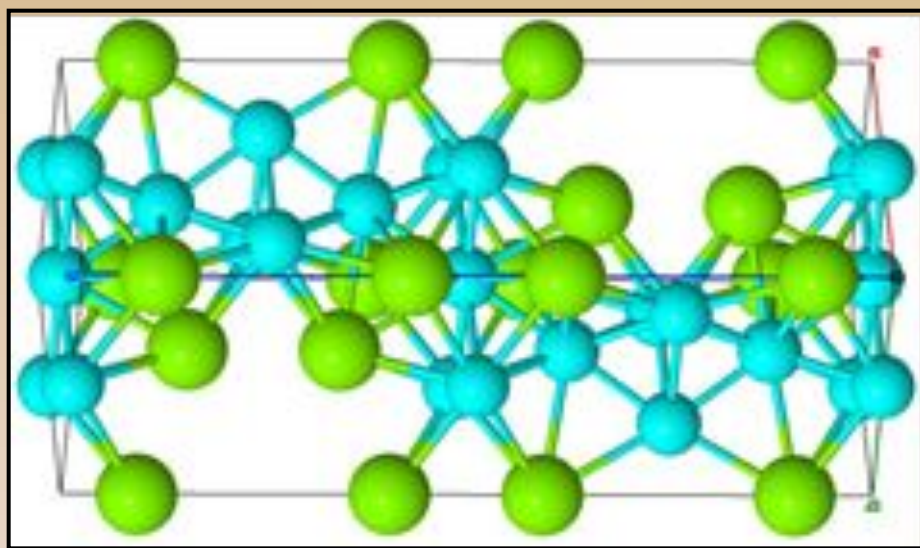
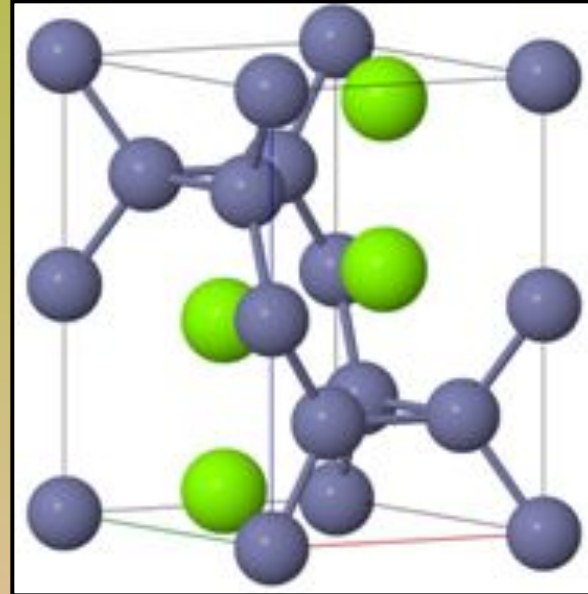
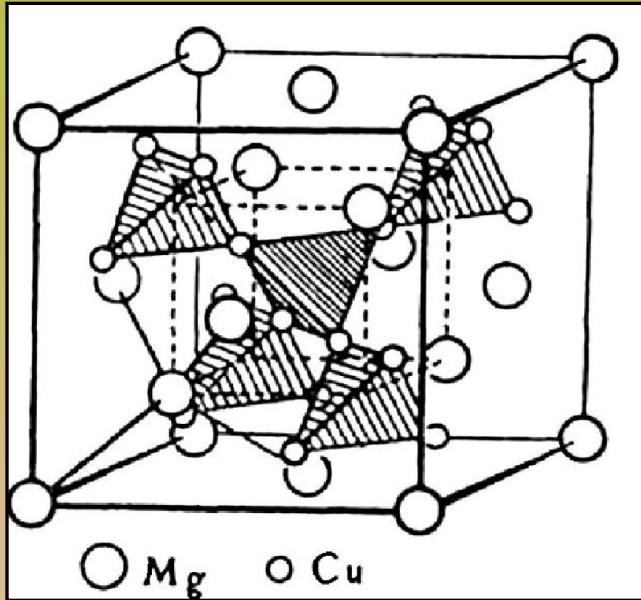
Современный вид ФД системы Au – Cu

Генезис различных типов индивидуальных фаз (по нарастанию химизма)

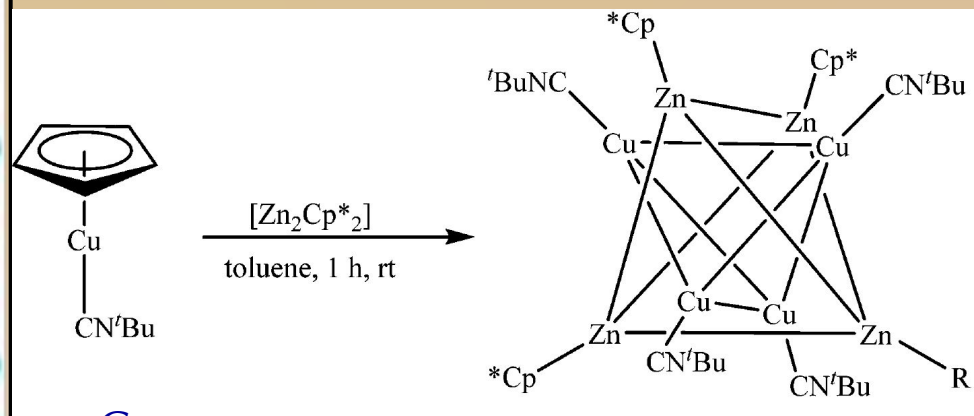
Фазы Лавеса

Фазы Лавеса образуются атомами двух сортов A и B , причем атом сорта A всегда имеет больший атомный радиус, чем атом сорта B , причем существует идеальное соотношение радиусов компонентов $R_A : R_B = 1.225$ ($V_A : V_B = 2:1$). К фазам Лавеса относятся соединения, кристаллизующиеся в несколько родственных структурных типов, из которых наиболее многочисленными являются три следующих: - гексагональный тип MgZn_2 , кубический тип MgCu_2 , гексагональный тип MgNi_2 . Все фазы Лавеса имеют разный порядок укладки *одинаковых структурных единиц*, в качестве которой в данном случае выступает многослойный «сэндвич». Так кубическая фаза Лавеса MgCu_2 представляет собой трёхслойную укладку элементарных структурных единиц в порядке ...XYZXYZ..., фаза MgZn_2 является двухслойной ...XYXY..., а фаза MgNi_2 — четырёхслойной ...XYXZXZYXZ.... Возможны и другие последовательности укладки слоёв. Основная особенность фаз Лавеса – наличие кластеров из атомов B (*атомы меньшего размера*).

Фазы Лавеса: элементарные ячейки



Тип MgCu_2 (слева) и MgZn_2 (справа; в кластеры связаны атомы цинка) и MgNi_2 (слева внизу; “голубые” атомы соответствуют никелю)

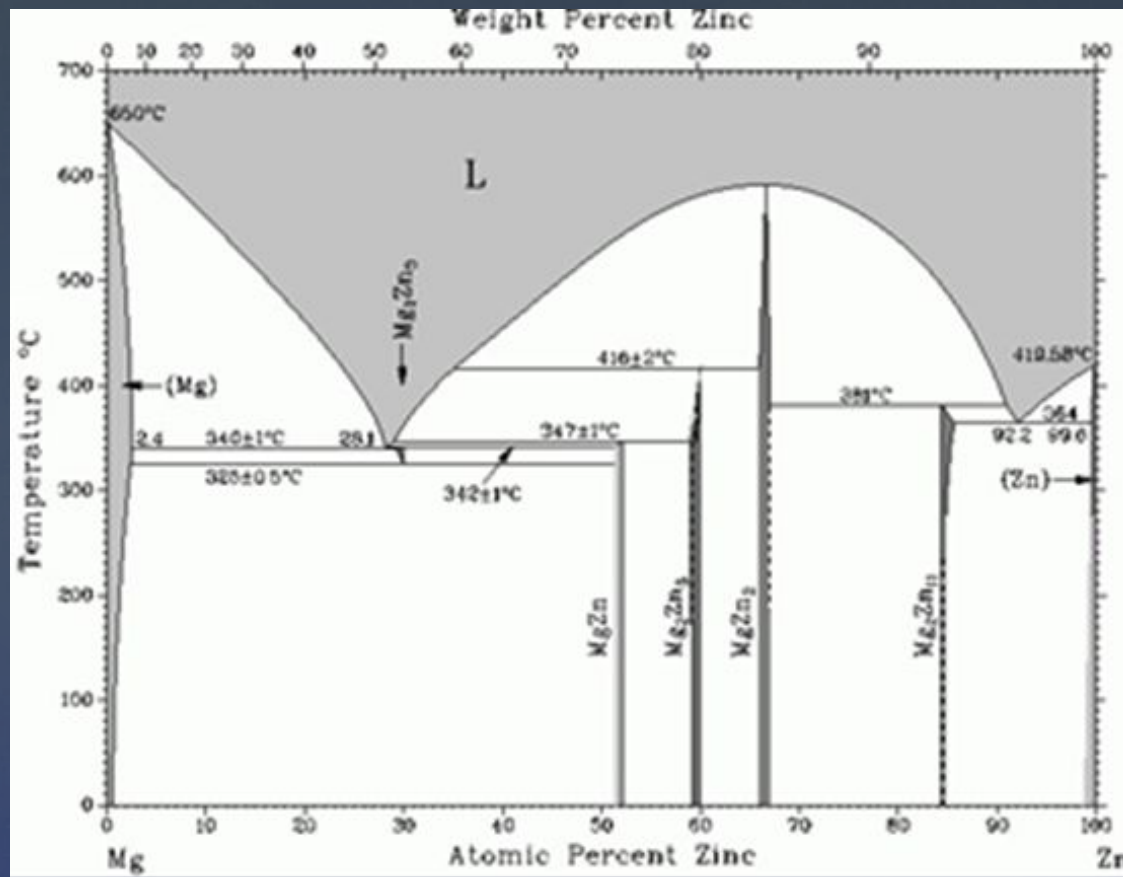


Селективные реакции с
участием

фаз Лавеса и Юм-Розери

1a: $R = \text{Cp}^*$
1b: $R = \text{Cp}$

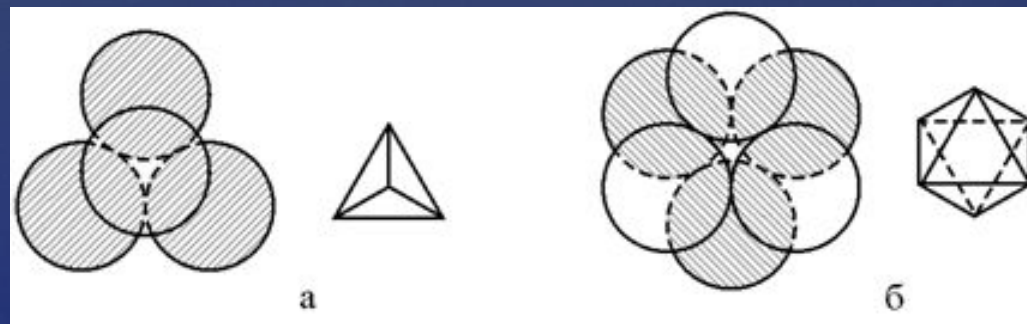
Фазы Лавеса



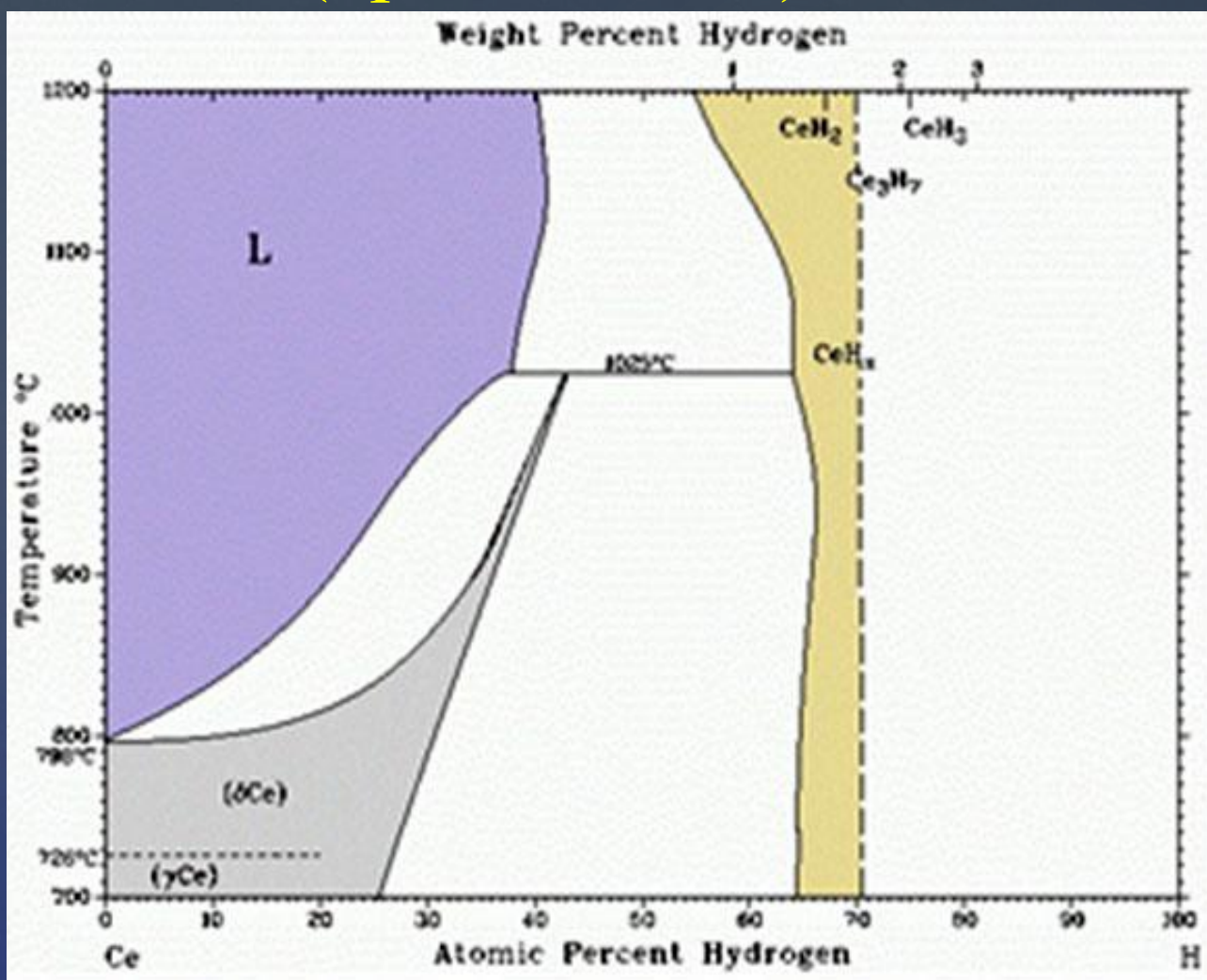
T-x диаграмма системы Mg-Zn; наиболее тугоплавкая конгруэнтно плавящаяся фаза – фаза Лавеса $MgZn_2$

Генезис различных типов индивидуальных фаз (по нарастанию химизма)

Фазы внедрения (фазы Хэгга). Структура состоит из атомов металла, расположенных так же, как и в характерных для металлов плотных упаковках (гексагональная., гранецентрированный. или объемноцентрированный. куб), а атомы неметаллов (H, N, C, B, P, O) расположены в тетраэдрических и октаэдрических пустотах этой плотной упаковки. Число тетраэдрических пустот в плотнейшей упаковке (рис “*a*” внизу) в два раза больше числа октаэдрических (рис “*b*” внизу). Фазы внедрения могут образовываться, если отношение радиусов атомов $R_{\text{Me}}/R_x \geq 0,59$ (правило Хэгга). **В фазах внедрения подрешетка атомов металла отличается от структуры исходного металла.** Так, у карбидов Ti и V типа MX гранецентрированная кубическая решетка (хотя Ti и V не кристаллизуются в ней). Для фаз внедрения характерны заметные области гомогенности, границами которых со стороны неметалла является стехиометрический состав.



Фазы внедрения (фазы Хэгга) (продолжение)

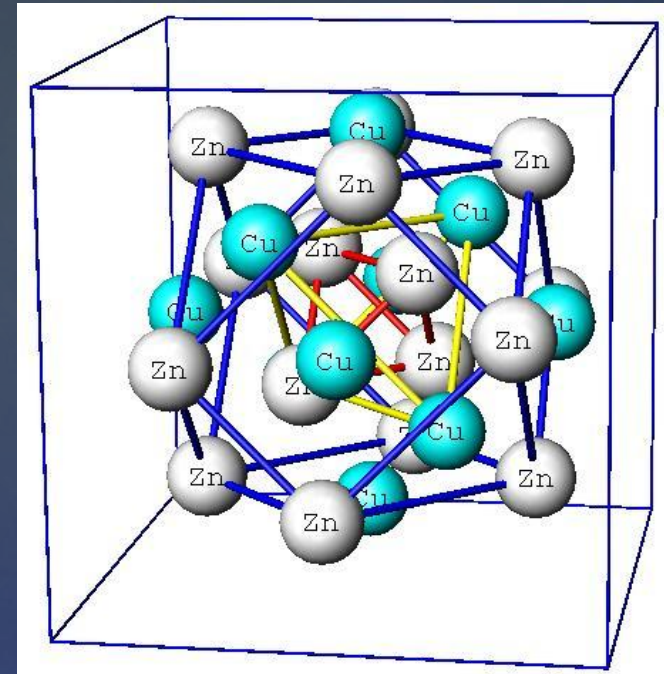
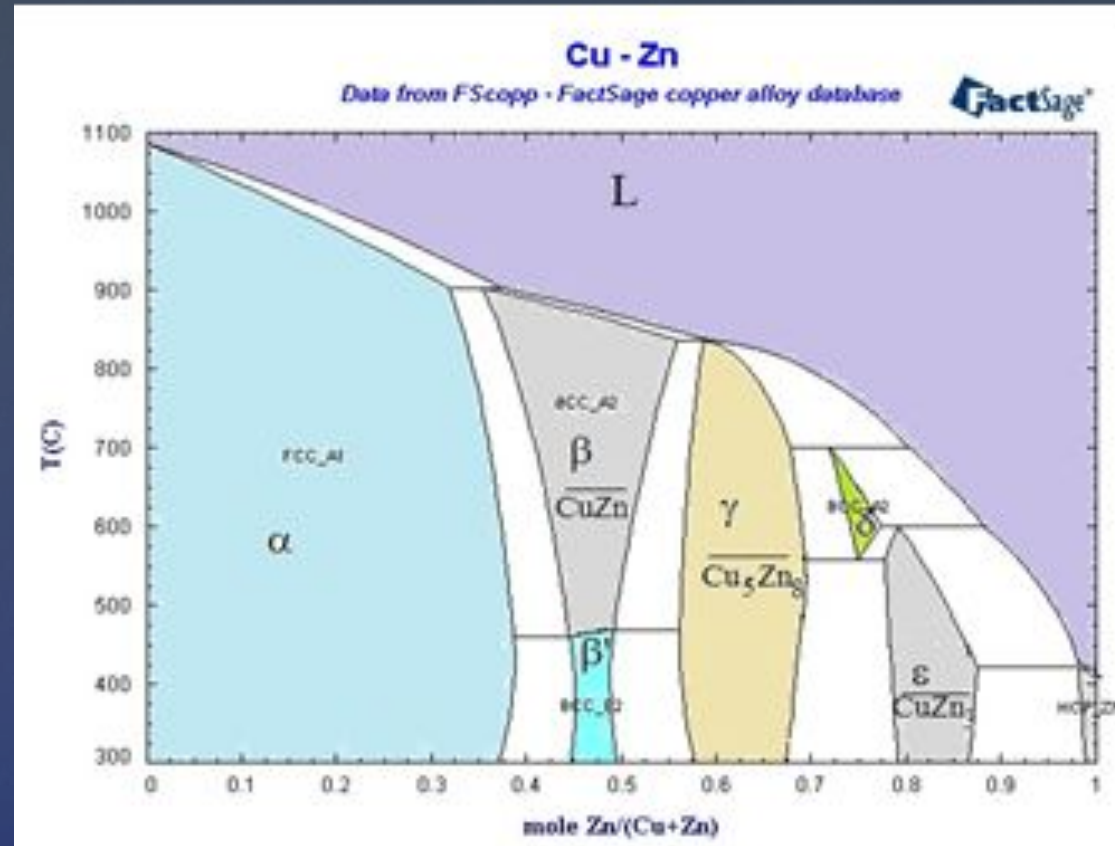


T-x диаграмма системы Ce-H. Имеется как твердый раствор внедрения (область гомогенности - серая заливка), так и фаза внедрения (желтоватая заливка)

Электронные соединения Юм-Розери

Стехиометрию определяет формальная электронная концентрация:

$$N_e/N_{\text{at}} = 21/12; N_e/N_{\text{at}} = 21/13; N_e/N_{\text{at}} = 21/14$$



$T-x$ диаграмма системы Cu-Zn с образованием многочисленных соединений Юм-Розери (CuZn , Cu_5Zn_8 , CuZn_3)

Расположение атомов в структуре γ -латуни

Примеры соединений Юм-Розери

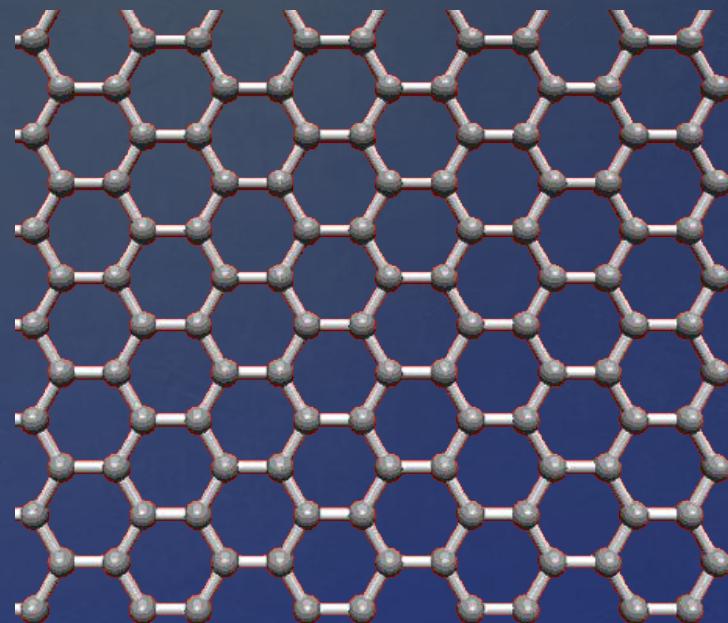
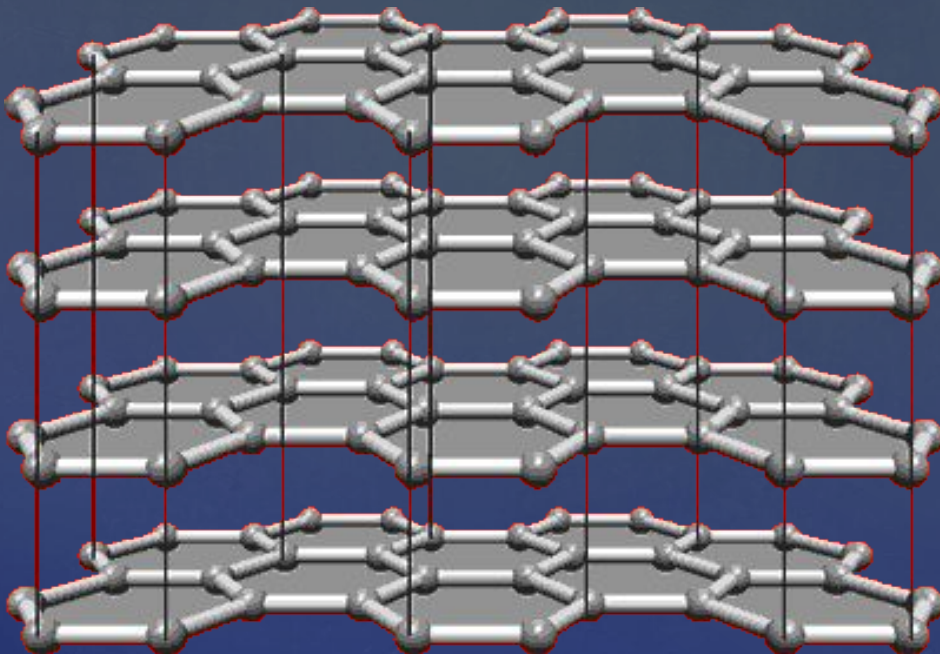
| Соединение | Число валентных электронов | Число атомов в формульной единице | Формальная электронная концентрация, е/ат | Тип структуры |
|--------------------------------------|----------------------------|-----------------------------------|---|---------------|
| CuZn | $1+2 = 3$ | 2 | $21/14 = 3/2$ | β- латунь |
| AgMg | $1+2 = 3$ | 2 | $21/14 = 3/2$ | β- латунь |
| Cu₃Al | $3+3 = 6$ | 4 | $21/14 = 3/2$ | β- латунь |
| InNi | $3+0 = 3$ | 2 | $21/14 = 3/2$ | β- латунь |
| | | | | |
| Cu₅Zn₈ | $5+16 = 21$ | 13 | $21/13$ | γ- латунь |
| Cu₉Al₄ | $9+12 = 21$ | 13 | $21/13$ | γ- латунь |
| Cu₃₁Sn₈ | $31+32 = 63$ | 39 | $21/13$ | γ- латунь |
| Au₅Zn₈ | $5+16 = 21$ | 13 | $21/13$ | γ- латунь |
| Co₅Zn₂₁ | $0+42 = 42$ | 26 | $21/13$ | |
| | | | | |
| AgCd₃ | $1+6 = 7$ | 4 | $21/12 = 7/4$ | ε- латунь |
| CuZn₃ | $1+6 = 7$ | 4 | $21/12 = 7/4$ | ε- латунь |
| Ag₅Al₃ | $5+9 = 14$ | 8 | $21/12 = 7/4$ | ε- латунь |
| Cu₃Sn | $3=4 = 7$ | 4 | $21/12 = 7/4$ | ε- латунь |

Генезис различных типов индивидуальных фаз

Интеркалированные слоистые соединения

(аналогия между твердыми растворами внедрения и фазами внедрения)

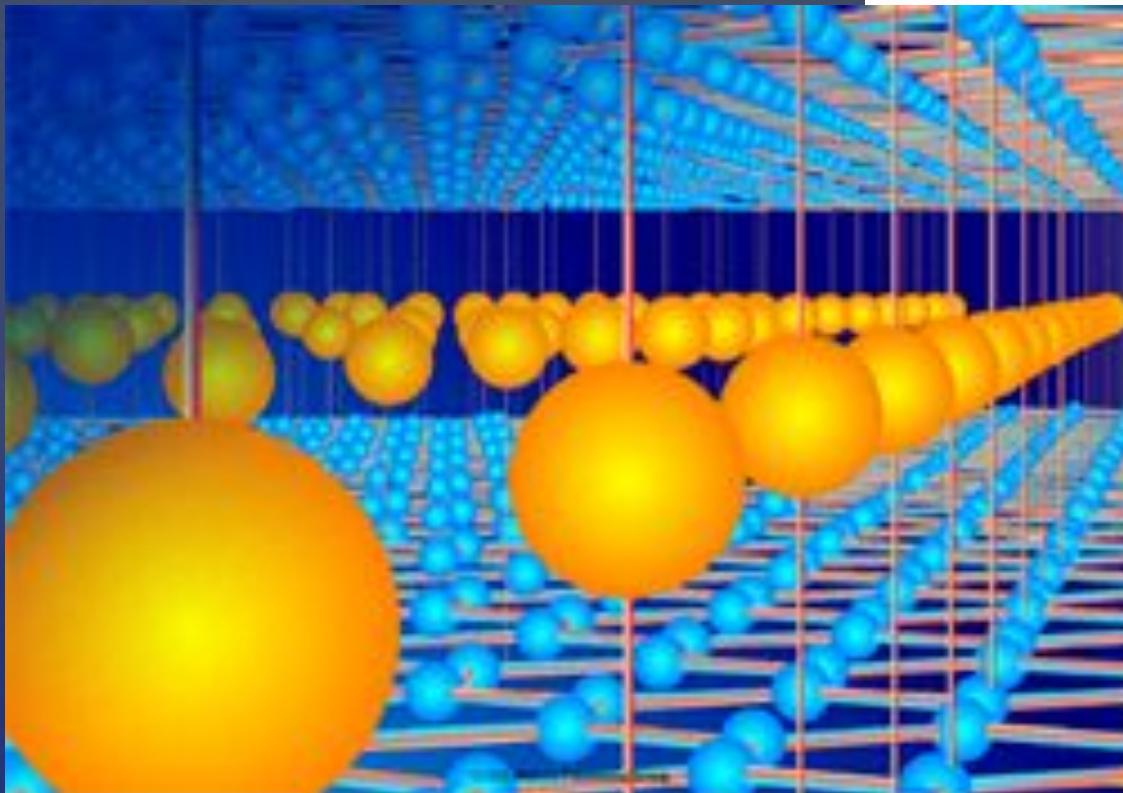
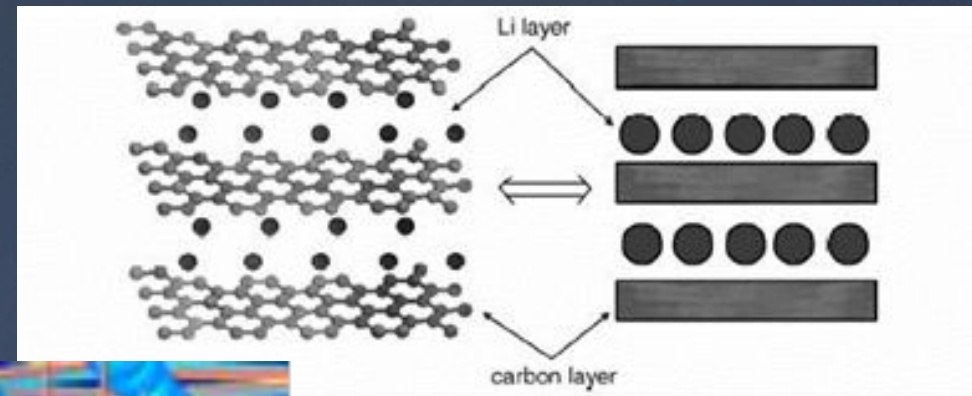
Реакция вхождения атомов или даже молекул или ионов между слоями структуры – матрицы (“хозяина”) называется интеркалированием, а сами продукты – интеркалатами.



Структуры типичного “хозяина” графита - слева и графена (моносвой графита) - справа

Интеркалированные слоистые соединения

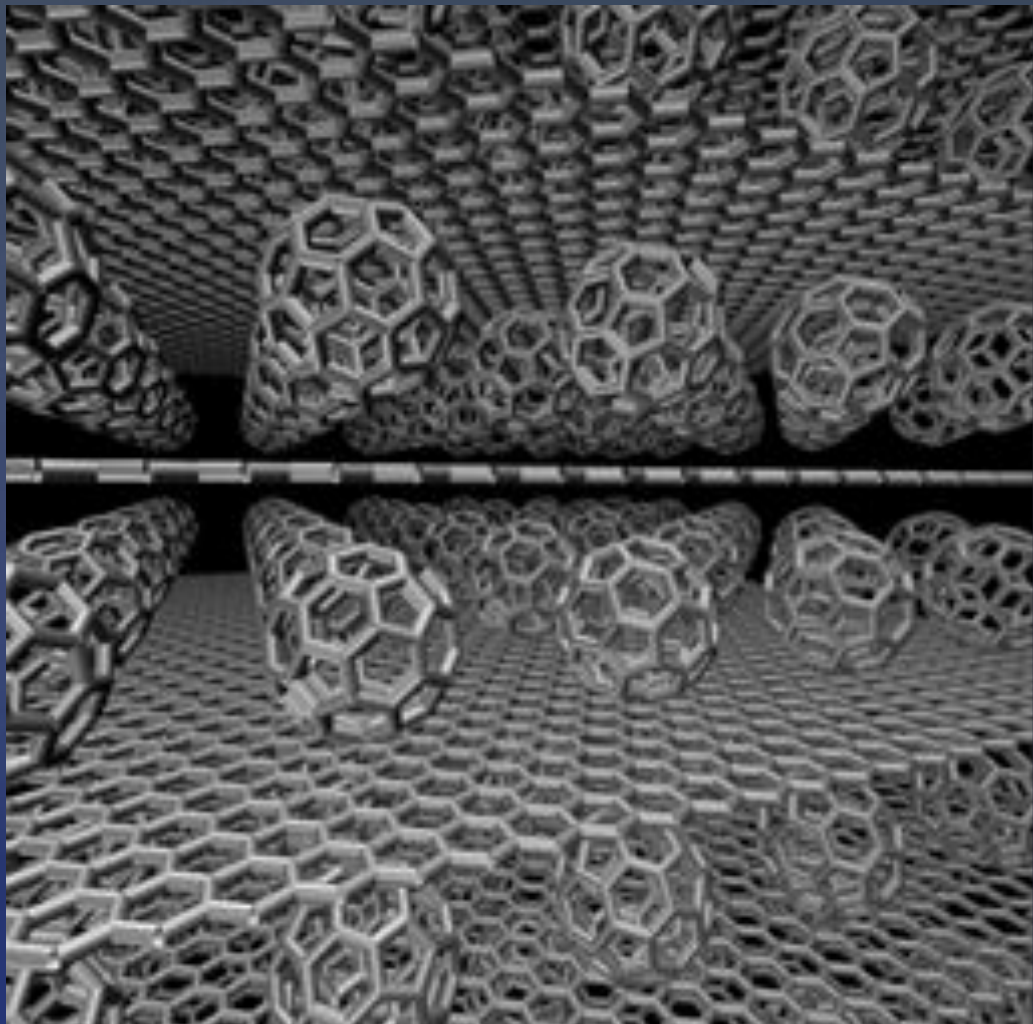
(аналогия между твёрдыми растворами внедрения и фазами внедрения,
продолжение)



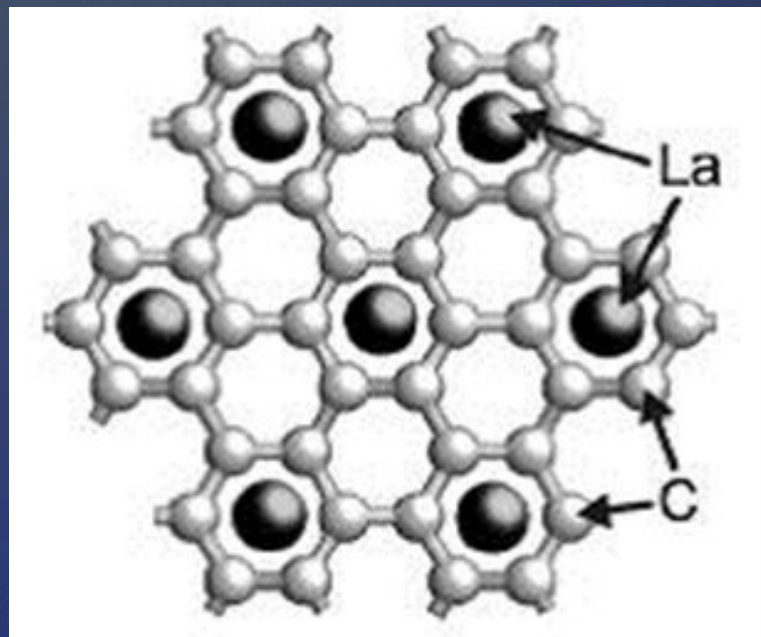
Интеркалат лития в графите:
упорядочение внедренного
вещества

Интеркалированные слоистые соединения

(аналогия между твердыми растворами внедрения и фазами внедрения,
продолжение)



Интеркалированные соединения:
 $(C_{60})_x C$ (слева), LaC_8 (показан один
слой, рис. справа)

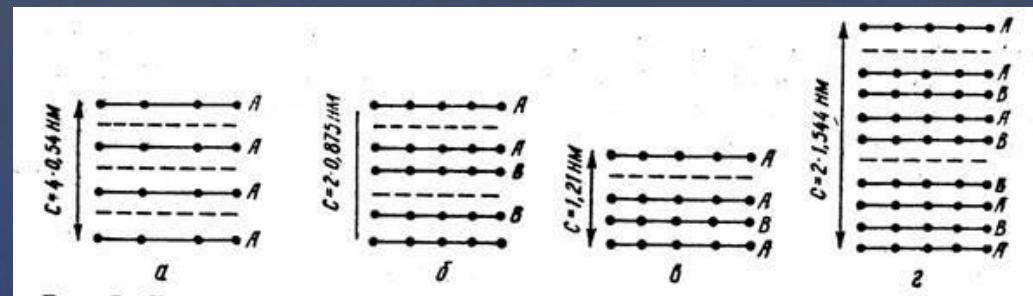


Интеркалированные слоистые соединения

(аналогия между твердыми растворами внедрения и фазами внедрения,
продолжение)

Соединения внедрения графита (СВГ) – частный случай интеркалаторов.

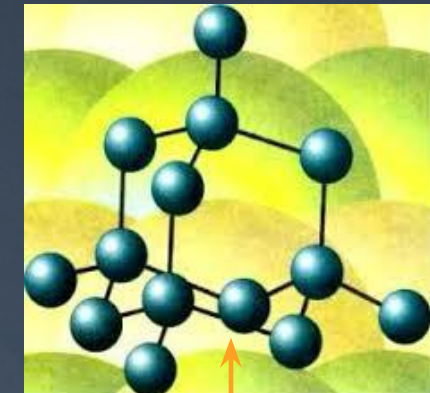
СВГ делятся на два широких класса: донорные и акцепторные. Перераспределение электронной плотности между молекулами интеркалята и атомами углерода в СВГ акцепторного типа приводит к появлению дополнительного количества делокализованных дырок в графитовых слоях. В донорных соединениях внедренные вещества отдают свои валентные электроны, и проводимость осуществляется избыточными электронами в углеродных слоях. Акцепторные соединения образуются при внедрении таких веществ, как галогены, галогениды металлов, кислоты. Донорные соединения образуются при внедрении щелочных или щелочноземельных металлов в графитовую матрицу. Примерами соединений донорного типа являются C_4K , C_8Li , C_8Ca . Акцепторные соединения имеют более сложный состав, например $C_{16}Br_2$, $C_{20}FeCl_3$, $C_{16}ICl$, $(C_{24})^+HSO_4^-$ и т.д..



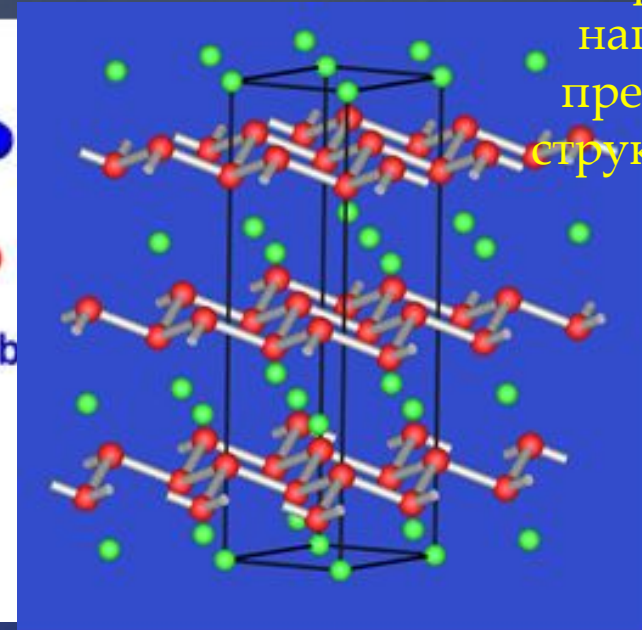
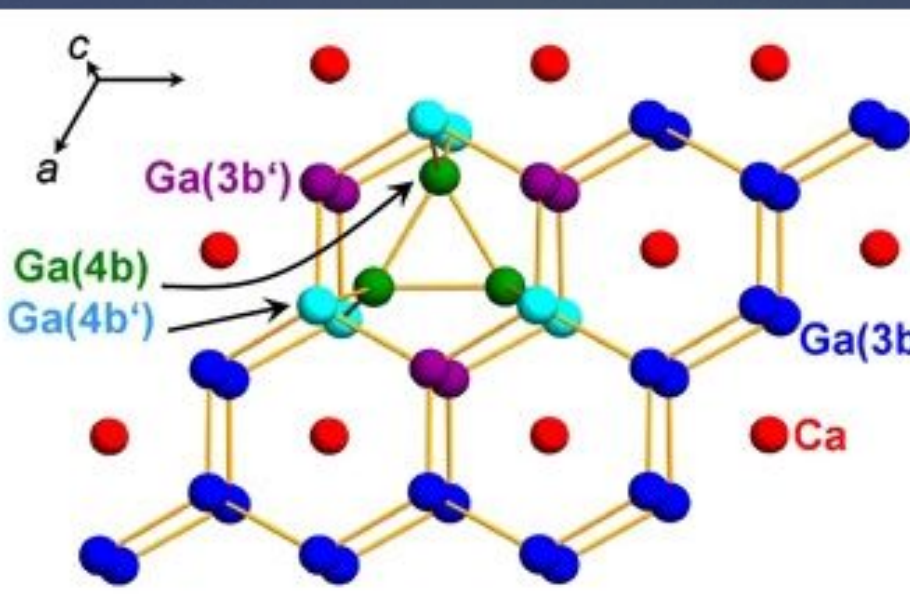
Кроме того, известны СВГ, в которых межслоевые пространства попаременно заняты двумя интеркалирующими агентами. Это так называемые гетеросоединения, типичным примером которых является СВГ с $CuCl_2$ и ICl . Они еще более расширяют возможности получения новых материалов с уникальным набором свойств. При интеркалировании всегда происходит значительное (в 2-3 раза) увеличение расстояния между графитовыми слоями и может нарушиться порядок чередования слоев, характерный для монокристаллического графита. Отличительной особенностью СВГ является наличие целого спектра соединений одного и того же интеркалята, различающихся составом и строением. Они называются ступенями. Номер ступени N равен числу графитовых сеток между ближайшими слоями внедренного вещества.

Фазы Цинтля (фазы, подобные интеркалатам)

Фазы Цинтля - бинарные, тройные и более сложные соединения, включающие наиболее активных s-металлов с sp-элементами и (металлами и неметаллами) IIIa-VIa гр., характеризующиеся образованием групп одинаковых sp элемента. Примеры фаз Цинтля - высшие (CaB_6 с октаэдрическими группировками B_6 и др.), $\text{Li}_{21}\text{Si}_5$, в к-ром м.б. выделены группы $[\text{Li}_{22}\text{Si}_4]^{6+}$ и $[\text{Li}_{20}\text{Si}_6]^{4-}$ и т.д. Особенность фаз Цинтля – гомодесмические связи и перенос заряда от атомов наиболее активных металлов к цепочкам элементов с полуметаллической и неметаллической природой.



Сжатие стр-ры алмаза по определенным направлениям превращает ее в структуру графита

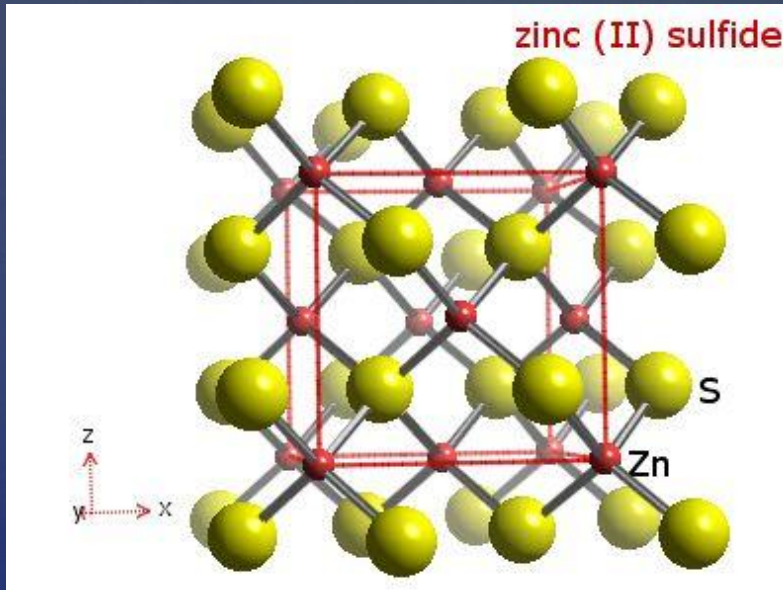


Структура фаз Цинтля: CaGa_2 (слева) и CaSi_2 (справа)

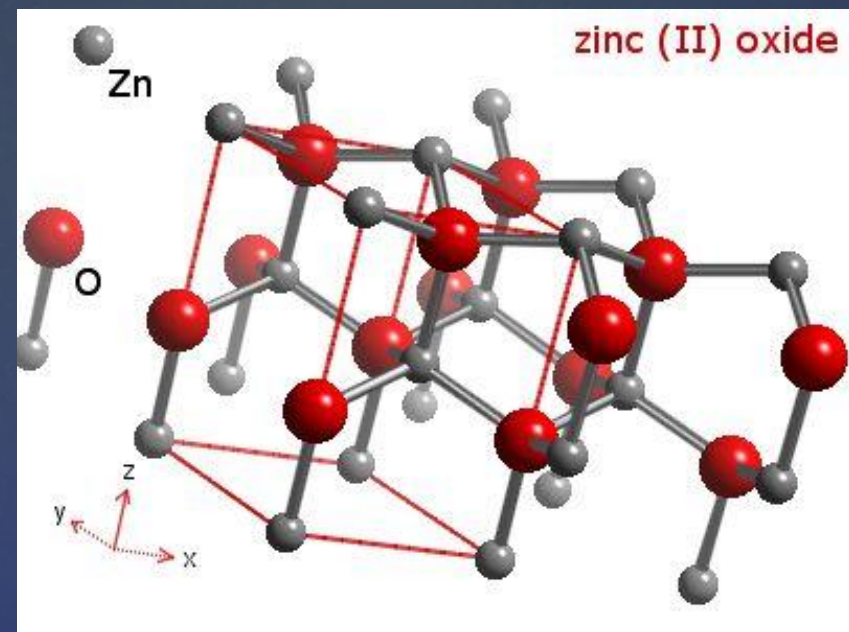
Валентные соединения

Структурные типы вюрцита и сфалерита:
наиболее распространенный вариант для
немолекулярных валентных фаз со
стехиометрией A_1B_1

Структурный тип сфалерита



Характерны для ZnS , ZnO , CdS , $CdSe$, $GaAs$, $InSb$, AlP ($A^{II}B^{VI}$, $A^{III}B^V$)



Структурный тип вюрцита

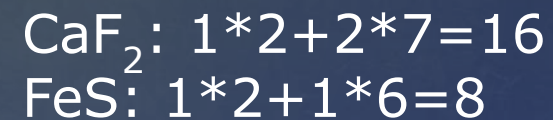
Классические валентные соединения

в немолекулярных структурах

Примитивные правила устойчивости структурного типа для ионно-ковалентных структур

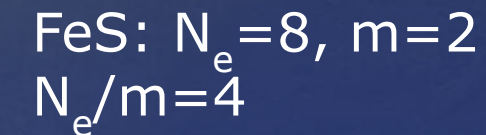
Правило октета

Число валентных электронов в формульной единице должно быть кратно 8



Правило Гrimма- Зоммерфельда

Отношение числа валентных электронов к числу атомов в формульной единице должно быть равно 4



Более универсальное правило устойчивости структурного типа для ионно-ковалентных структур

Правило Музера-Пирсона

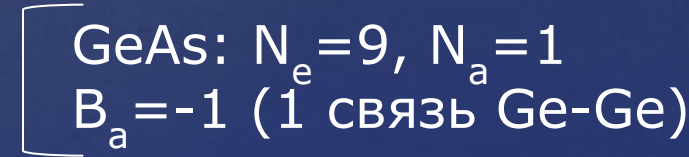
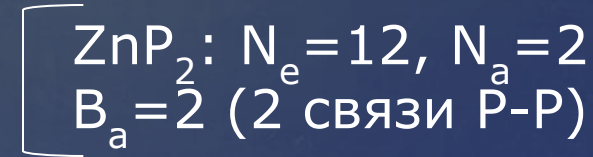
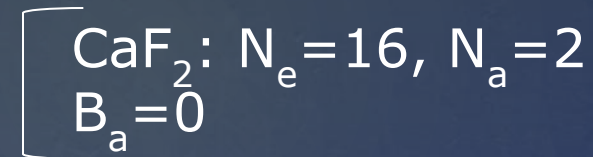
$$\frac{N_e}{N_a} + B_a = 8$$

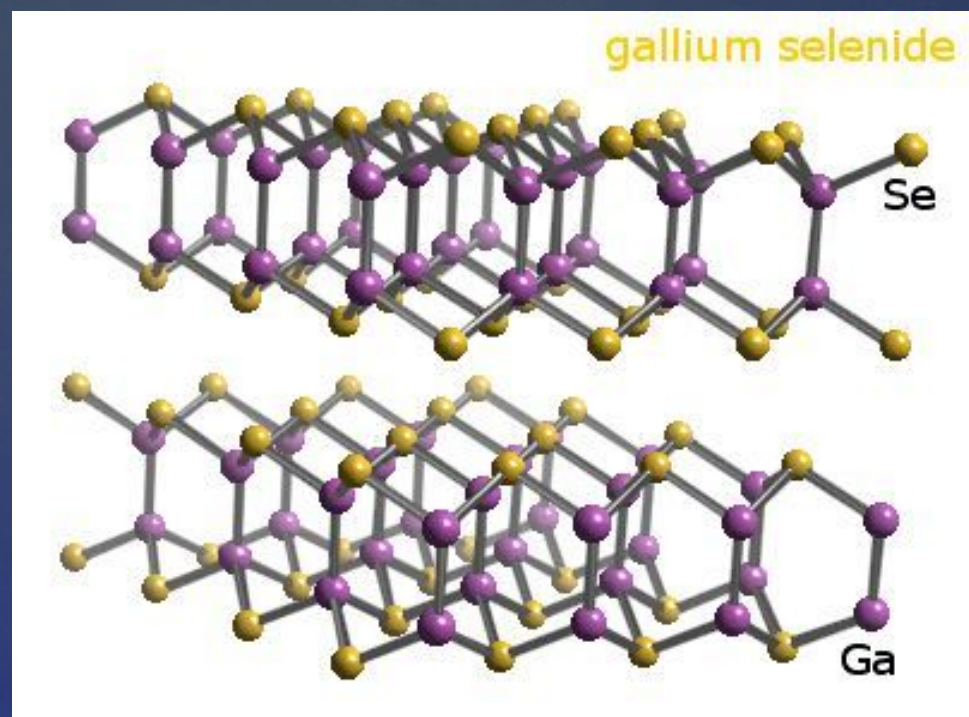
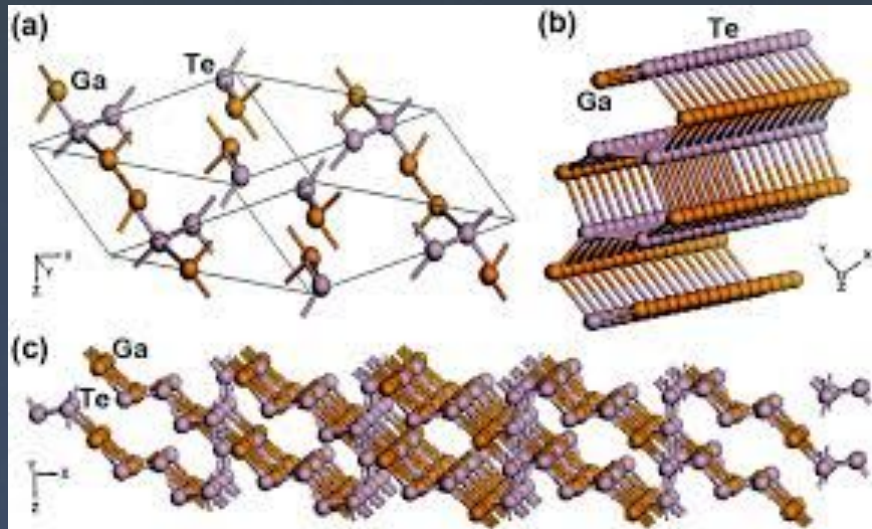
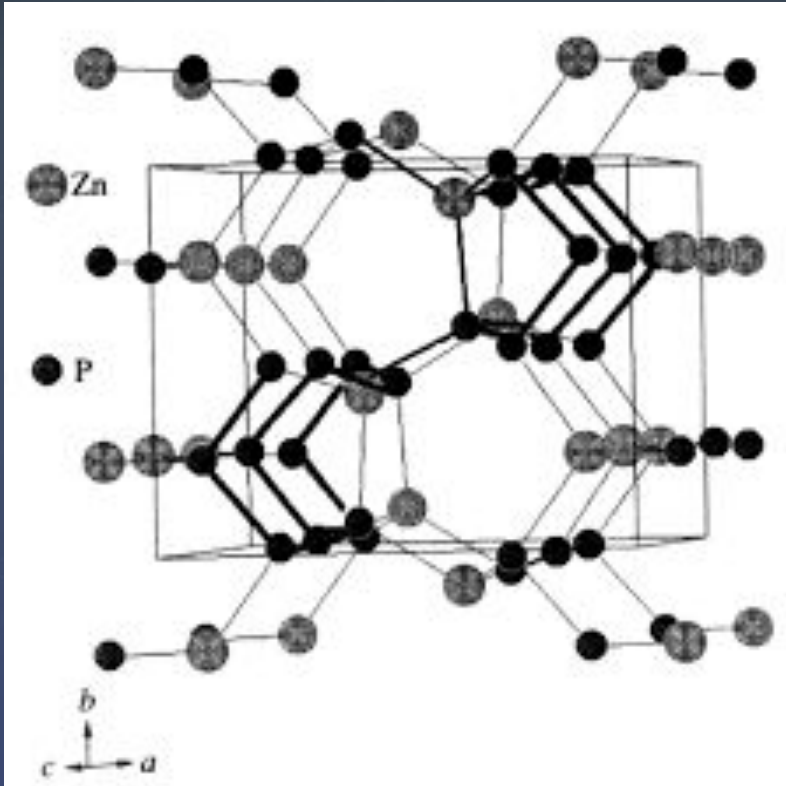
где:

N_e – общее число валентных эл-нов в формульной единице

N_a – общее число анионов в формульной единице

B_a – число связей между атомами катионов (при $B_a < 0$ $|B_a|$ указывает число катион-катионных связей)





Примеры структур с
“анион-анионными” (слева:
 ZnP_2 с P-P связями) и
“катион-катионными”
связями (справа: GaTe, GaSe
со связями Ga-Ga).

Генезис различных фаз по типу усложнения химического взаимодействия:

Расслоение → Эвтектика → Ограниченные тв. р-ры → неограниченный ряд твердых растворов → Соединения Курнакова → Фазы Лавеса → Фазы внедрения (Хэгга) → Соединения Юм-Розери → Интеркалированные соединения → Фазы Цинтля → Валентные соединения → Соединения высших порядков (комплексные соединения)